



همبستگی حالت‌های جفت شده ماده هسته‌ای نامتقارن در چارچوب LOCV

آذر تفریحی

دانشکده فیزیک، دانشگاه صنعتی اصفهان، اصفهان

پست الکترونیکی: tafrihi@iut.ac.ir

(دریافت مقاله: ۱۴۰۰/۰۱/۰۹؛ دریافت نسخه نهایی: ۱۴۰۰/۰۳/۲۴)

چکیده

همبستگی‌های نوکلئون-نوکلئون ماده هسته‌ای نامتقارن در حالت‌های جفت شده D_1 - S_1 - F_2 - P_2 برای پتانسیل‌های دو-نوکلئونی AV_{18} و AV_6 با روش وردشی پایین‌ترین مرتبه مقید مطالعه می‌شوند. در این محاسبات،تابع همبستگی تانسوری (یا اسپین-مدار) در حالت جفت شده D_1 - S_1 - F_2 - P_2 لحاظ می‌شود. انرژی ماده هسته‌ای نامتقارن و شعاع ترمیم همبستگی‌های غیرمرکزی در حالت‌های مذکور گزارش می‌شوند. مشخص می‌شود که با کاهش نسبت پروتون به نوترون (شعاع‌های ترمیم)، توابع همبستگی غیرمرکزی حالت‌های جفت شده تقویت می‌شوند. نشان می‌دهیم که توابع همبستگی غیرمرکزی و انرژی ماده هسته‌ای نامتقارن در حالت جفت شده D_1 - S_1 - F_2 - P_2 بیشتر از حالت دو-نوکلئونی وابسته‌اند.

واژه‌های کلیدی: همبستگی نوکلئون-نوکلئون، حالت‌های جفت شده، ماده هسته‌ای نامتقارن، روش وردشی پایین‌ترین مرتبه مقید

تانسوری و اسپین-مدار، دارند. همبستگی‌های غیرمرکزی در حالت‌های دو-نوکلئونی جفت شده لحاظ می‌شوند. بررسی همبستگی‌های مرکزی (و غیرمرکزی) در حالت‌های دو-نوکلئونی جفت نشده (جفت شده)، به درک بهتر ساختار کوتاهبرد هسته‌ها و سامانه‌های فرضی هسته‌ای، همانند ماده هسته‌ای نامتقارن، کمک می‌کند. از سامانه ماده هسته‌ای نامتقارن در مطالعات ستاره‌های نوترونی بهره می‌برند [۷]. با توجه به اهمیت همبستگی‌های مرکزی و غیرمرکزی

۱. مقدمه

سطح مقطع جذب پیون (فوتون) هسته‌ها متناسب با ضریب بته-لوینگر مقیاس‌بندی می‌شود [۱-۴]. این مقیاس‌بندی با رفتار جهانشمول بخش بلندبرد (کوتاهبرد) توابع توزیع تکانه (توزیع‌های چگالی) هسته‌ها ارتباط دارد [۵]. رفتار مذکور از همبستگی‌های کوتاهبرد نوکلئون-نوکلئون سرچشمه می‌گیرد [۶]. همبستگی‌های دو-نوکلئونی در تشابه با پتانسیل‌های هسته‌ای دو-جسمی بخش‌های مرکزی و غیرمرکزی، همانند بخش‌های

الف) در بخش ۲، فرمول‌بندی روش LCOV برای ماده هسته‌ای نامتقارن ارائه می‌شود. ب) در بخش ۳، توابع همبستگی LCOV در حالت‌های جفت شده برای نسبت‌های پروتون به نوترون مختلف نشان داده می‌شوند. همچنین، نمودار انرژی ماده هسته‌ای نامتقارن در حالت‌های مذکور بر حسب چگالی رسم می‌شود.

۲. فرمول‌بندی روش LCOV برای ماده هسته‌ای نامتقارن

در روش LCOV، انرژی ماده هسته‌ای نامتقارن در تقریب خوش‌دو- جسمی محاسبه می‌شود [۱۴]:

$$E = \frac{1}{A} \frac{\langle \psi | H | \psi \rangle}{\langle \psi | \psi \rangle} = \frac{\sum_i \rho_i k_{fi}}{\sum_i \rho_i m_i} + E_r + \dots, \quad (1)$$

که [۱۵] و [۱۷]

$$H = \sum_i \frac{P_i}{m_i} + \sum_{i \neq j} v(ij), \quad (2)$$

$$\psi = F\phi, \quad (3)$$

و [۱۵]

$$F = S \prod_{i < j} f(ij). \quad (4)$$

در رابطه‌های (۱) تا (۴)، A تعداد نوکلئون‌ها، ρ چگالی ماده هسته‌ای نامتقارن، $\rho_{P(N)}$ چگالی پروتون‌ها (نوترون‌ها)، $k_{FP(N)}$ تکانه فرمی پروتون‌ها (نوترون‌ها)، E_r انرژی خوش‌دو- جسمی، v تابع موج برهم‌کنشی، f تابع همبستگی نوکلئون- نوکلئون، ϕ تابع موج غیربرهم‌کنشی، S عملگر متقارن‌ساز، P_i تکانه خطی (جرم) نوکلئون i و m_i اندکنش دو- نوکلئونی است.

با در نظر گرفتن اندکنش AV^{18} و AV^6 ، انرژی خوش‌دو- جسمی برابر می‌شود با [۱۷-۱۶ و ۱۴]:

$$E_r = \frac{\rho}{2} \int d^3 r \left\{ \sum_{JLSTT_Z} \sigma v_{eff}^{JLSTT_Z}(r) I_{L,T_Z}(k_f r) \right\}, \quad (5)$$

که $JLSTT_Z$ ، به ترتیب، اندازه حرکت زاویه‌ای کل، اندازه حرکت مداری، اسپین، ایزواسپین و تصویر ایزواسپین در راستای محور چهای جفت ذرات هستند. همچنین، σ ، $v_{eff}^{JLSTT_Z}(r)$ و $I_{L,T_Z}(k_f r)$ در مراجع‌های [۱۶-۱۷ و ۲۰] معرفی شده‌اند.

نوکلئون- نوکلئون در حالت‌های جفت شده و سامانه فرضی ماده هسته‌ای نامتقارن، در این پژوهش، توابع همبستگی دو- نوکلئونی ماده هسته‌ای نامتقارن برای نسبت‌های مختلف پروتون به نوترون در حالت‌های جفت شده ${}^3D_1 - {}^3S_1$ ، ${}^3F_2 - {}^3P_2$ ، ${}^3F_2 - {}^3P_1$ بررسی و انرژی ماده هسته‌ای نامتقارن در حالت‌های مذکور ارائه می‌شود. در این محاسبات از روش وردشی پایین‌ترین مرتبه مقید^۱ استفاده می‌کنیم. در روش LCOV بسط خوش‌دو- جسمی [۹-۸] در پایین‌ترین مرتبه، یعنی خوش‌دو- جسمی، قطع و اعتبار تقریب مذکور توسط قید بهنجارش تابع موج [۱۰] سنجیده می‌شود. تا کنون، هسته‌های معین^۲، ماده هسته‌ای (نامتقارن و ماده نوترونی، با در نظر گرفتن پتانسیل‌های دو- و سه- جسمی متفاوت در چارچوب LCOV بررسی شده‌اند [۱۱-۲۱]. نتایج روش تقریبی LCOV با پیش‌بینی‌های رهیافت‌های پیچیده مونت کارلو و زنجیره ابرشبکه‌ای فرمی همخوانی داشته است [۷ و ۲۲-۲۴].

برخلاف رهیافت‌های MC و FHNC، روش LCOV به حالت‌های دو- نوکلئونی وابسته است. بنابراین، بررسی چگونگی وابستگی همبستگی نوکلئون- نوکلئون و انرژی سامانه‌های هسته‌ای به حالت‌های دو- نوکلئونی در فرمول‌بندی LCOV میسر است. در مرجع [۱۹]، توابع همبستگی مرکزی و غیرمرکزی ماده هسته‌ای متقارن و ماده نوترونی خالص در AV¹⁸ حالت‌های جفت شده به ازای پتانسیل‌های دو- جسمی [۲۰] و AV⁶ [۲۶] مطالعه شدند. همچنین، در مرجع [۲۵]، توابع همبستگی تانسوری ماده هسته‌ای نامتقارن در حالت جفت شده $J=1$ برای نسبت‌های پروتون به نوترون ${}^0/{}^0/{}^0/{}^0/{}^0/{}^0$ در نظر گرفتن پتانسیل‌های AV¹⁸ و AV⁶ ارائه شدند. در این مقاله، در کنار نتایج ماده هسته‌ای نامتقارن در حالت‌های جفت شده ${}^3D_1 - {}^3S_1$ و ${}^3F_2 - {}^3P_2$ برای نسبت‌های پروتون به نوترون ${}^0/{}^0/{}^0/{}^0/{}^0/{}^0$ ، محاسبات ماده‌های هسته‌ای و نوترونی مرجع [۱۹]، جهت مقایسه بهتر نمایش داده می‌شوند. با توجه به مطالب بالا، طرح کلی مقاله به این ترتیب است:

۱. Lowest order constrained variational (LCOV) method

۲. Finite nuclei

معادلات مذکور تا شعاع ترمیم^۱ $r = d$ حل و پس از آن توابع همبستگی به صورت توابع پائولی در نظر گرفته می‌شوند. با جایگذاری پاسخ‌های معادلات دیفرانسیل در رابطه‌های (۵) و (۱۱)، انرژی ماده هسته‌ای نامتقارن در حالت‌های جفت شده محاسبه می‌شود.

در بخش آتی، با استفاده از رابطه‌های (۸) تا (۱۱)، توابع همبستگی مرکزی و غیرمرکزی حالت‌های جفت شده $J=1$ ($^3S_1 - ^3D_1$) و $J=2$ ($^3P_2 - ^3F_2$) و شعاع‌های ترمیم توابع مذکور نشان داده می‌شوند. به علاوه، انرژی ماده هسته‌ای نامتقارن در حالت‌های جفت شده بر حسب چگالی نمایش داده می‌شوند.

۳. نتایج، بحث و جمع‌بندی

در این بخش، ابتدا، توابع همبستگی ماده هسته‌ای نامتقارن در حالت‌های جفت شده $J=1$ ($^3S_1 - ^3D_1$) و $J=2$ ($^3P_2 - ^3F_2$) برای نسبت‌های پروتون به نوترون $\epsilon = 0/2, 0/5, 0/7$ و 1 ، در چگالی اشباع ماده هسته‌ای متقارن (3fm) و $1/5$ برابر چگالی اشباع (3fm) ارائه می‌شوند. همچنین، شعاع ترمیم توابع همبستگی مذکور و انرژی ماده هسته‌ای نامتقارن در حالت‌های جفت شده بر حسب چگالی گزارش می‌شوند. در این پژوهش، در حالت جفت شده $J=1$ همبستگی تانسوری و در حافظت شده $J=2$ همبستگی تانسوری و یا اسپین-مدار لحظه‌اند. لازم به ذکر است که نسبت‌های پروتون به نوترون صفر و 1 به ترتیب معرف سامانه‌های فرضی ماده هسته‌ای متقارن و ماده نوترونی خالص هستند.

در بخش‌های (الف) و (ب) ((پ) و (ت)) شکل‌های ۱ و ۲، توابع همبستگی مرکزی (غیرمرکزی) ماده هسته‌ای نامتقارن در حالت جفت شده $J=1$ برای پتانسیل‌های AV^{*6} و AV^{*18} به ترتیب در چگالی‌های 3fm و 3fm بر حسب فاصله شعاعی میان نوکلئون‌ها ترسیم شده‌اند. در بخش‌های (الف) و (پ) ((ب) و (ت)) شکل‌های ۱ و ۲، در حالت جفت شده $J=2$ ، همبستگی اسپین-مدار (تانسوری) لحظه شده است. همان طور که در شکل‌های ۱ و ۲ مشهود است، با

آورده شده‌اند. در رابطه (۵)، تابع همبستگی دو-نوکلئونی $f(12)$ به صورت زیر نوشته می‌شود [۱۷]:

$$f(12) = \sum_{JSTT_Z} / JSTT_Z > f_{JSTT_Z}(12) < JSTT_Z / , \quad (6)$$

که (۱۲) در حالت‌های جفت نشده (حالت‌های $S=0$ و $J=1, L=J \pm 1$) و جفت شده (حالت‌های $(S=1, L=J \pm 1)$ با

$J > 3$ ، به صورت زیر تعریف می‌شوند [۱۹]:

$$f_{JSTT_Z}(12) = \begin{cases} UCS : f_{JSTT_Z}^{(1)}(r_{12}) \\ f_{1100}^{(21)}(r_{12}) \left(\frac{2}{3} + \frac{1}{6} S_{12} \right) + \\ CS : f_{1100}^{(31)}(r_{12}) \left(\frac{1}{3} - \frac{1}{6} S_{12} \right); ^3S_1 - ^3D_1 \\ f_{111T_Z}^{(22)}(r_{12}) |L=1><L=1| + \\ f_{111T_Z}^{(32)}(r_{12}) |L=2><L=2|; ^3P_1 - ^3F_1 \end{cases}. \quad (7)$$

در رابطه (۷)، L اندازه حرکت مداری حالت جفت شده است. با استفاده از رابطه (۷)، همبستگی‌های مرکزی (c) و غیرمرکزی (nc)، یعنی تانسوری (T) و اسپین-مدار (b)، حالت‌های جفت شده برابر می‌شوند با [۱۹]:

$$f_{1100}^c = \frac{1}{3} (2f_{1100}^{(21)}(r_{12}) + f_{1100}^{(31)}(r_{12})), \quad (8)$$

$$f_{1100}^T = \frac{1}{6} (f_{1100}^{(21)}(r_{12}) - f_{1100}^{(31)}(r_{12})), \quad (9)$$

$$f_{111T_Z}^c = \frac{1}{5} (4f_{111T_Z}^{(22)}(r_{12}) + f_{111T_Z}^{(32)}(r_{12})), \quad (10)$$

$$f_{111T_Z}^b = \frac{1}{5} (f_{111T_Z}^{(22)}(r_{12}) - f_{111T_Z}^{(32)}(r_{12})). \quad (11)$$

لازم به ذکر است که در رابطه (۷) می‌توان در حالت $^3P_2 - ^3F_2$ همبستگی تانسوری لحظه کرد [۱۹]. در این صورت

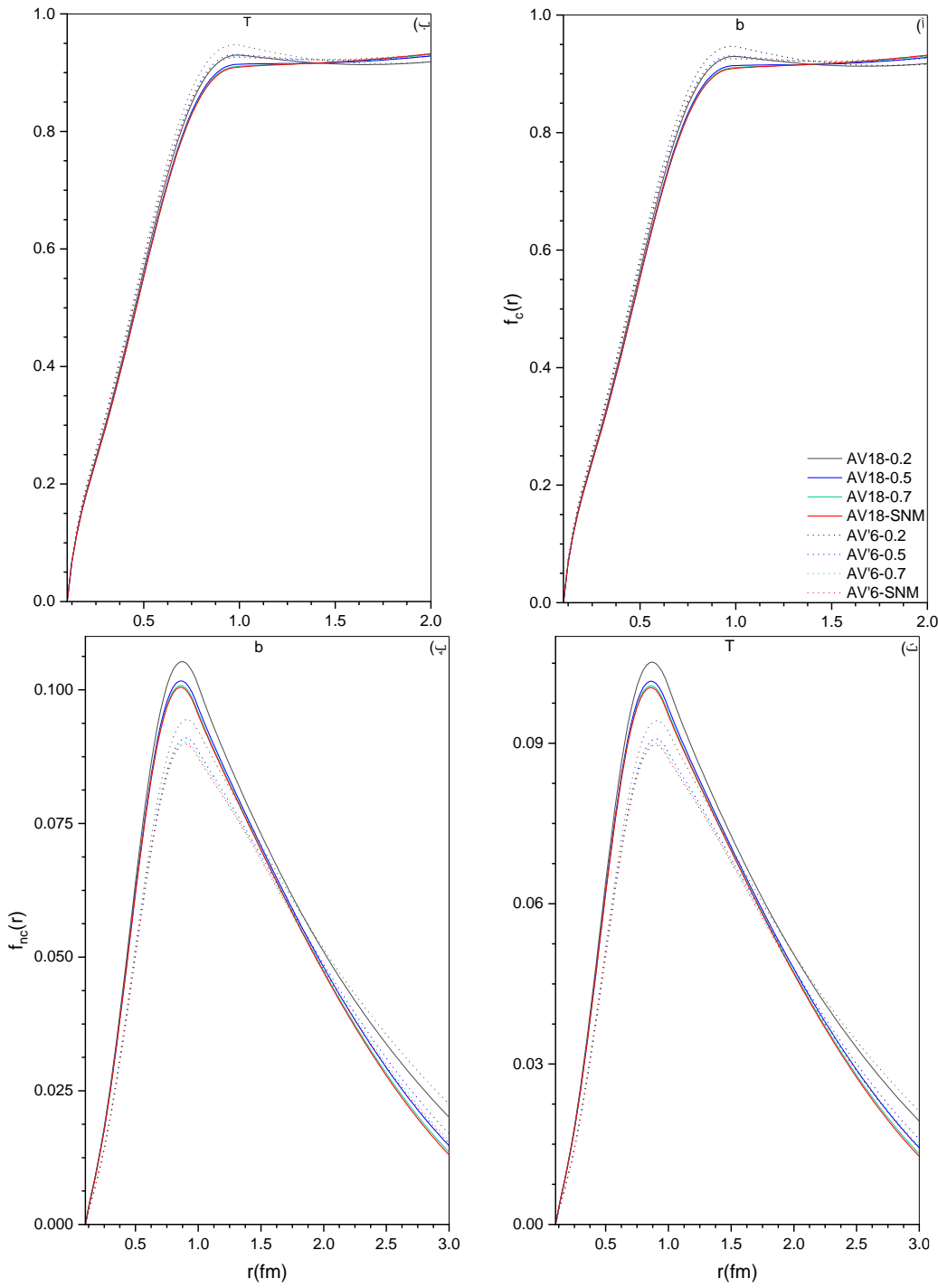
$$f_{111T_Z}^{(22,32)}(r_{12}) \text{ در رابطه‌های (۸) و (۹) صدق می‌کند [۱۹].} \quad (12)$$

در رهیافت $LOCV$ ، انرژی E_2 نسبت به توابع همبستگی وابسته به حالت در حضور قید بهنجارش، یعنی [۲۰]:

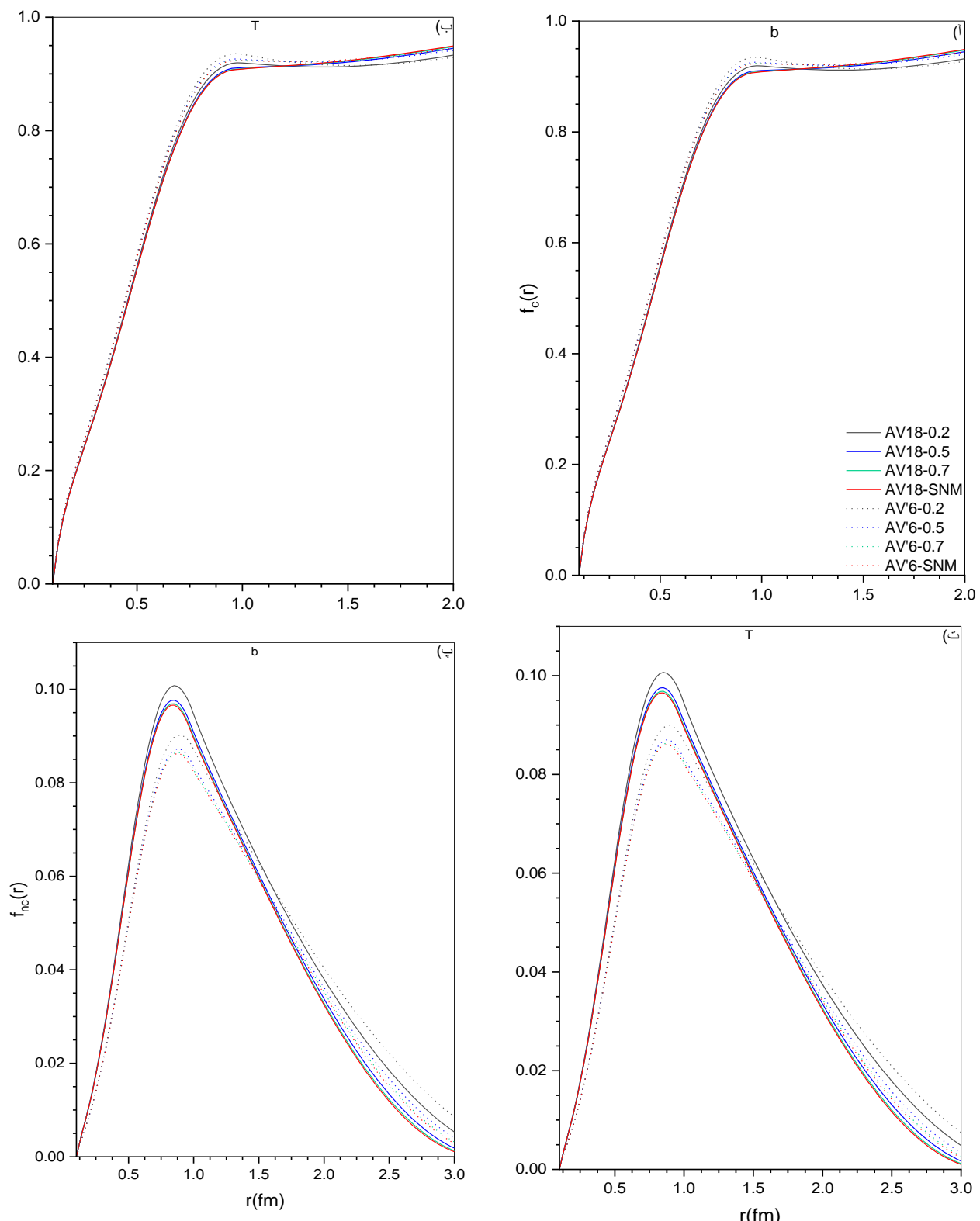
$$\epsilon = \langle \psi | \psi \rangle^{-1} = \rho \int d^3r \left\{ \sum_{JLSTT_Z} \bar{\psi}(f_{p,T_Z}^*(r) - f_{JLSTT_Z}^*(r)) I_{L,T_Z}(k_f r) \right\}^{-1}, \quad (12)$$

کمینه می‌شود. در رابطه (۱۲)، $f_{p,T_Z}(r)$ تابع همبستگی پائولی است که بخش بلندبرد همبستگی نوکلئون-نوکلئون را توصیف می‌کند [۲۰]. به این ترتیب مجموعه‌ای از معادلات دیفرانسیل حاصل می‌شوند [۱۴ و ۱۶ و ۲۰].

۱. Healing distance



شکل ۱. (الف) (رنگی در نسخه الکترونیکی) توابع همبستگی مرکزی ماده هسته‌ای نامتقارن در حالت جفت شده D_1^- - S_1^- - S_0^- - D_0^+ به ازای نسبت‌های پروتون به نوترون ${}_0^1/\bar{N} = 0/5, 0/7, 0/2$ و 1 با پتانسیل AV^{18} (AV^{18} در چگالی fm^{-3}) نامگذاری شده‌اند. در این محاسبات همبستگی اسپین-مدار در حالت جفت شده $J=2$ لحاظ شده است. (ب) مشابه با بخش (الف) با این تفاوت که در حالت جفت شده $J=2$ همبستگی تانسوری داریم. (پ) مشابه با قسمت (الف) با این تفاوت که توابع همبستگی غیرمرکزی نمایش داده شده‌اند. (ت) مشابه با قسمت (ب) با این تفاوت که توابع همبستگی غیرمرکزی نشان داده شده‌اند.



شکل ۲. (رنگی در نسخه الکترونیکی) مشابه با شکل ۱ اما در چگالی 10^{-24} fm^3 .

در شکل مذکور، با افزایش نسبت پروتون به نوترون (چگالی)، برد همبستگی های غیرمرکزی کاهش می یابد. همچنین برد همبستگی های غیرمرکزی در حضور پتانسیل AV⁶ در مقایسه با اندرکنش AV¹⁸ بلندتر است. همان طور که در شکل ۵ مشخص است، با اعمال همبستگی اسپین-مدار (تansوری) در حالت جفت شده J=2، همبستگی غیرمرکزی در حالت جفت شده J=1، بلندبردتر (کوتاهبردتر) از حالت جفت شده J=2 است.

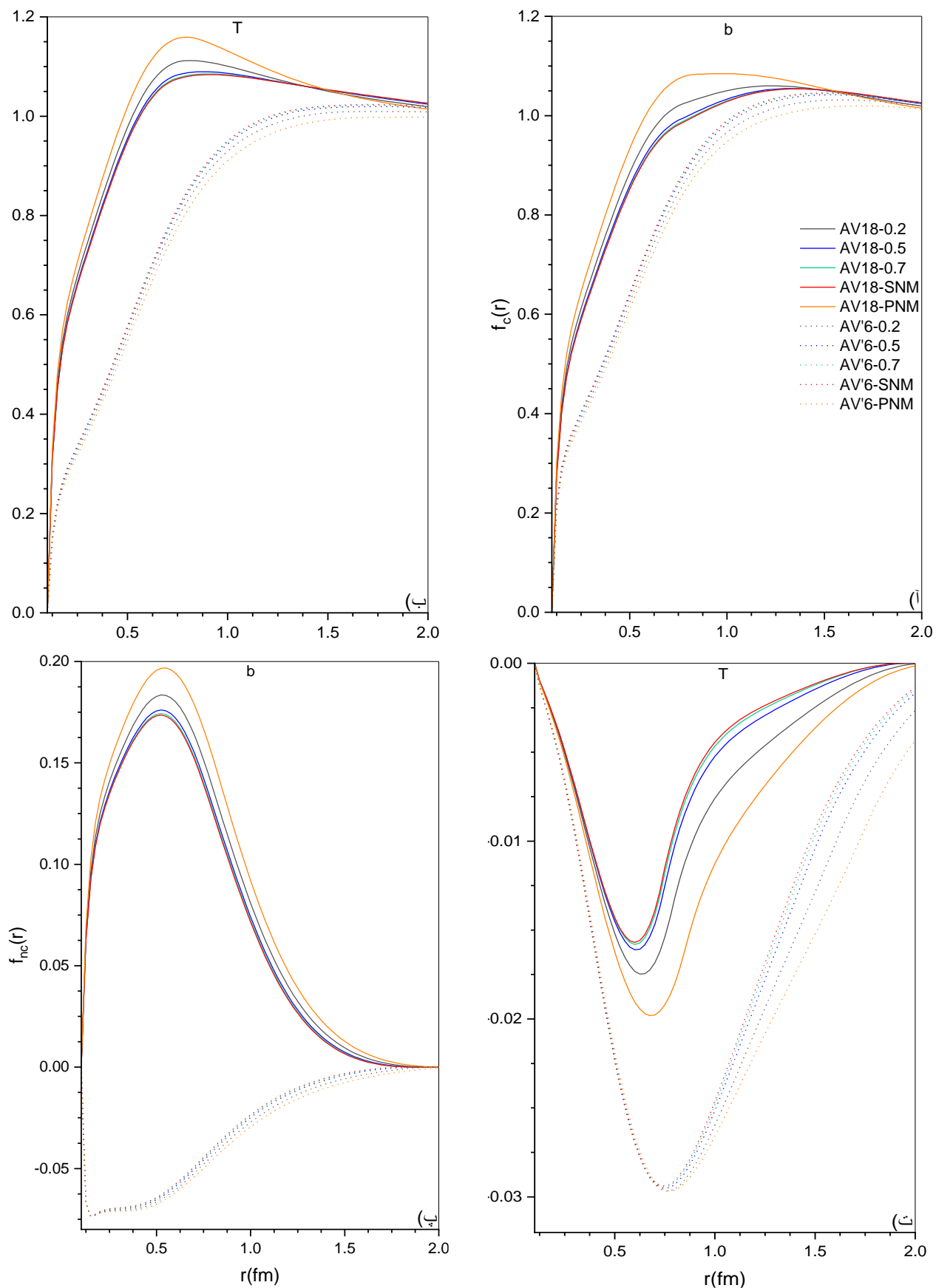
در بخش های (الف)، (ب)، (پ) و (ت) شکل های ۶ و ۷ به ترتیب انرژی ماده هسته ای نامتقارن در حالت های دو-نوكليونی ۱-۲۱۱۰، ۲۱۱۱-۱، ۱۲۱۰، ۲۳۱۱ برای JLSTT_Z=۱۰۱۰۰، ۲۱۱۱-۱، ۱۲۱۰، ۲۳۱۱ پتانسیل های AV¹⁸ و AV⁶ بر حسب چگالی نشان داده شده اند. می دانیم که انرژی ماده هسته ای نامتقارن در حالت های جفت شده به تصویر ایزو اسپین در راستای محور T_Z با وابسته است. بنابراین برای مقایسه داده های T=1 با نتایج ماده نوترونی خالص، حالت های دو- نوكليونی به ازای T_Z=-1 نمایش داده شده اند. لازم به ذکر است که در شکل ۶ و ۷، در حالت جفت شده J=2، همبستگی اسپین-مدار (تansوری) لحاظ شده است. در شکل های مذکور، با در نظر گرفتن اندرکنش AV¹⁸، مقدار انرژی حالت ۱-۲۱۱۱ از بقیه حالت ها بزرگ تر است. همچنین ملاحظه می شود که با اعمال همبستگی اسپین-مدار و یا تansوری در حالت جفت شده J=2، رفتار کلی انرژی ها تقریباً یکسان است. از طرف دیگر، به جز در حالت ۱۰۱۰۰، منحنی انرژی ماده هسته ای نامتقارن در حالت های دو- نوكليونی جفت شده در نسبت های پروتون به نوترون بزرگ تر بالاتر از دیگر نسبت ها قرار می گیرد. در پایان خاطر نشان می شود که انرژی ماده هسته ای نامتقارن در حالت جفت شده، ۱۲۱۰-۲۱۱۱ به ازای پتانسیل AV¹⁸ با داده های متناظر برای اندرکنش AV⁶ تقریباً همخوانی (اختلاف) دارد.

با توجه به مطالب بالا، مشخص شد که توابع همبستگی غیرمرکزی با افزایش نسبت پروتون به نوترون کوچک می شوند. همچنین نشان دادیم که توابع همبستگی مرکزی و غیرمرکزی

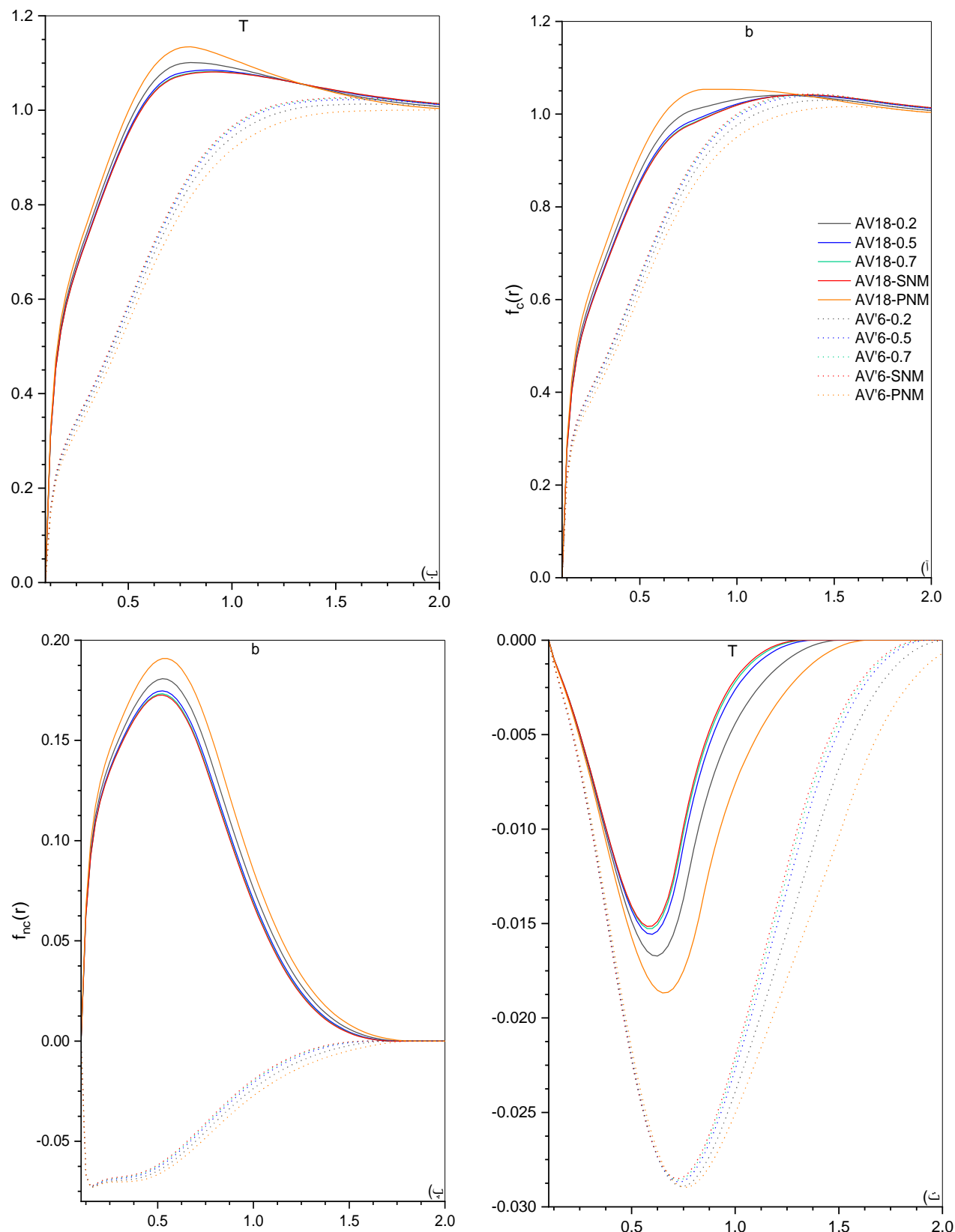
افزایش نسبت پروتون به نوترون و با در نظر گرفتن همبستگی تansوری در حالت J=2، همبستگی تansوری در حالت J=1 تضعیف می شود. همچنین، مشخص است که همبستگی تansوری در حضور پتانسیل AV¹⁸ قوی تر و برد همبستگی ها در حضور پتانسیل AV⁶ بلندتر است. در کل می توان گفت که با افزایش چگالی، برد همبستگی ها کاهش می یابد.

در بخش های (الف) و (ب) ((پ) و (ت)) شکل های ۳ و ۴، توابع همبستگی مرکزی (غیرمرکزی) ماده هسته ای نامتقارن در حالت جفت شده J=2 برای پتانسیل های AV¹⁸ و AV⁶ به ترتیب در چگالی های 16 fm و 24 fm بر حسب فاصله شعاعی نمایش داده شده اند. در بخش های (الف) و (پ) ((ب) و (ت)) شکل های مذکور، در حالت جفت شده J=2، همبستگی اسپین-مدار (تansوری) لحاظ شده است. به این ترتیب، در بخش های (پ) و (ت) شکل های ۳ و ۴، به ترتیب توابع همبستگی اسپین-مدار و تansوری ارائه شده اند. در تشابه با شکل های ۱ و ۲، در شکل های ۳ و ۴، با کاهش نسبت پروتون به نوترون و با در نظر گرفتن همبستگی اسپین-مدار در حالت J=2، همبستگی غیرمرکزی در حالت J=2 تقویت می شود. همچنین، با کاهش چگالی، برد همبستگی ها افزایش می یابد. همان طور که در بخش (ت) (پ) شکل های ۳ و ۴ مشهود است، همبستگی های تansوری (اسپین-مدار) در حضور پتانسیل AV¹⁸ ضعیفتر (قوی تر) و برد همبستگی ها در حضور پتانسیل AV⁶ بلندترند. از طرف دیگر، رفتار توابع همبستگی اسپین-مدار در حالت جفت شده J=2، در حضور پتانسیل AV⁶ با نتایج مشابه اندرکنش AV¹⁸ اختلاف دارد که این اختلاف از عدم حضور عملگر اسپین-مدار در پتانسیل AV⁶ ناشی می شود.

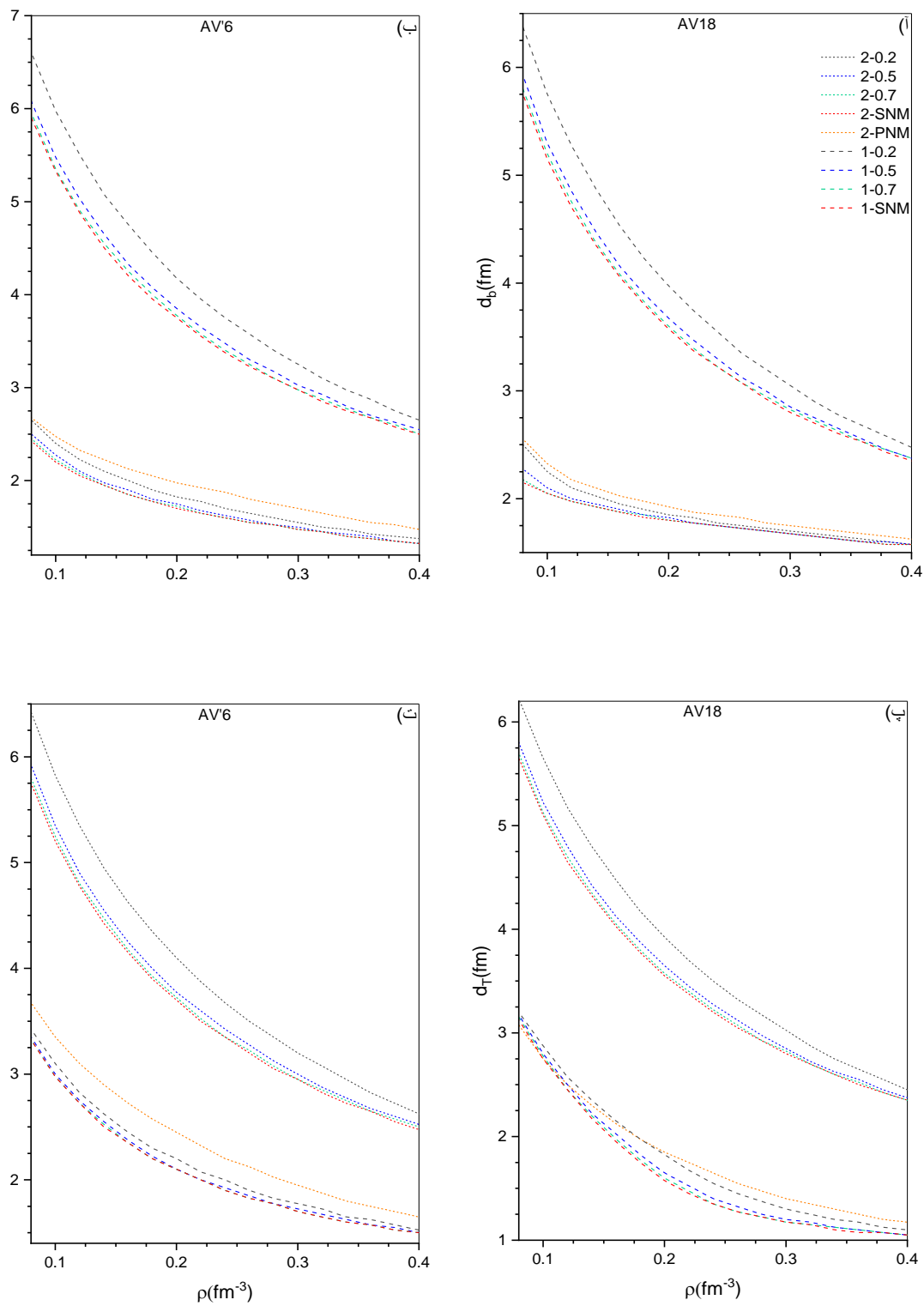
در بخش های (الف) و (پ) ((ب) و (ت)) شکل ۵، برد همبستگی های غیرمرکزی ماده هسته ای نامتقارن در حالت های جفت شده J=1,2 برای پتانسیل AV¹⁸ (AV⁶) بر حسب چگالی رسم شده اند. در بخش های (الف) و (ب) ((پ) و (ت)) شکل ۵، در حالت جفت شده J=2، همبستگی اسپین-مدار (تansوری) در نظر گرفته شده است.



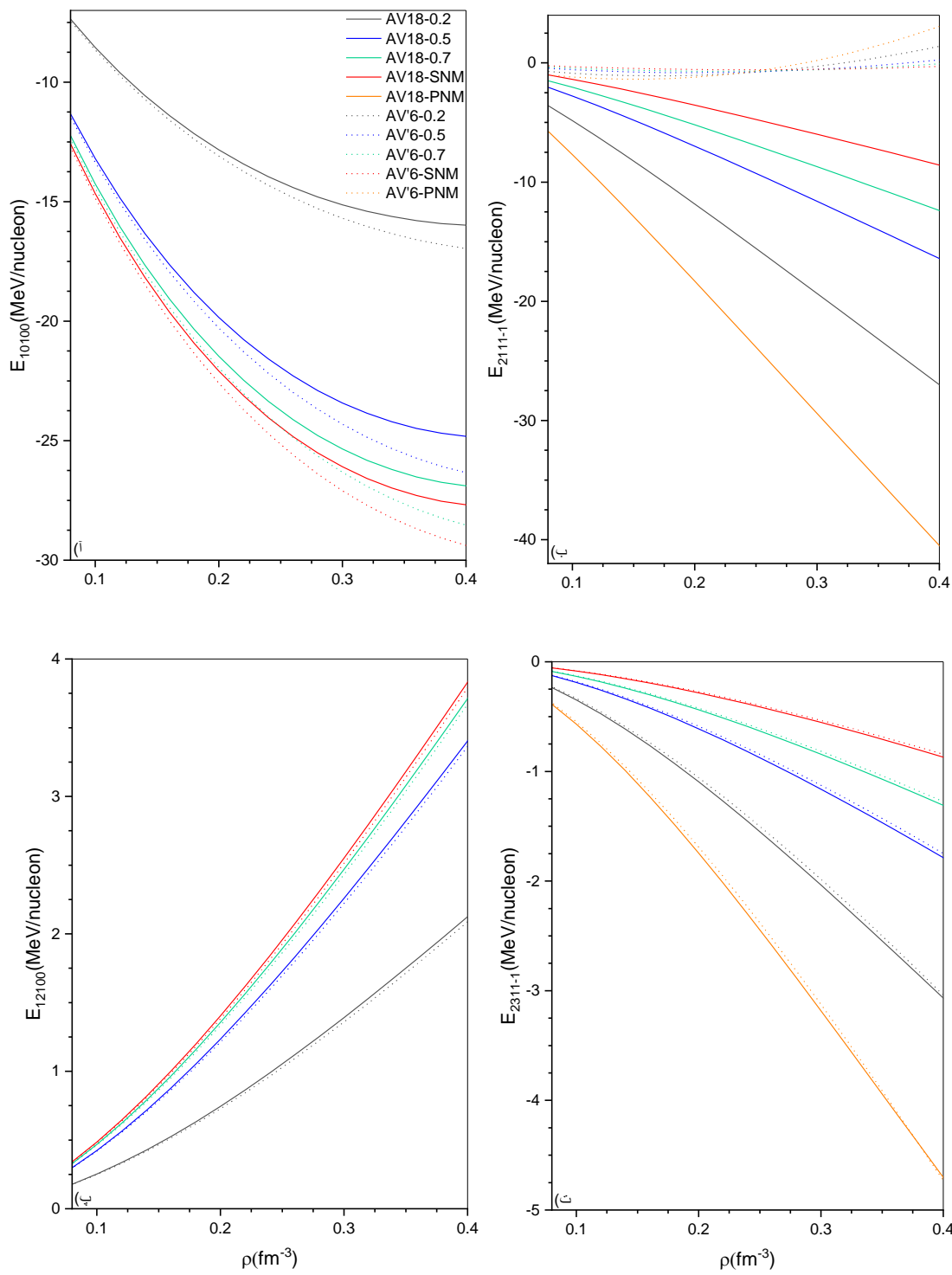
شکل ۳: (رنگی در نسخه الکترونیکی) مشابه با شکل ۱ اما در حالت جفت شده $^3P_2 - ^3F_2$



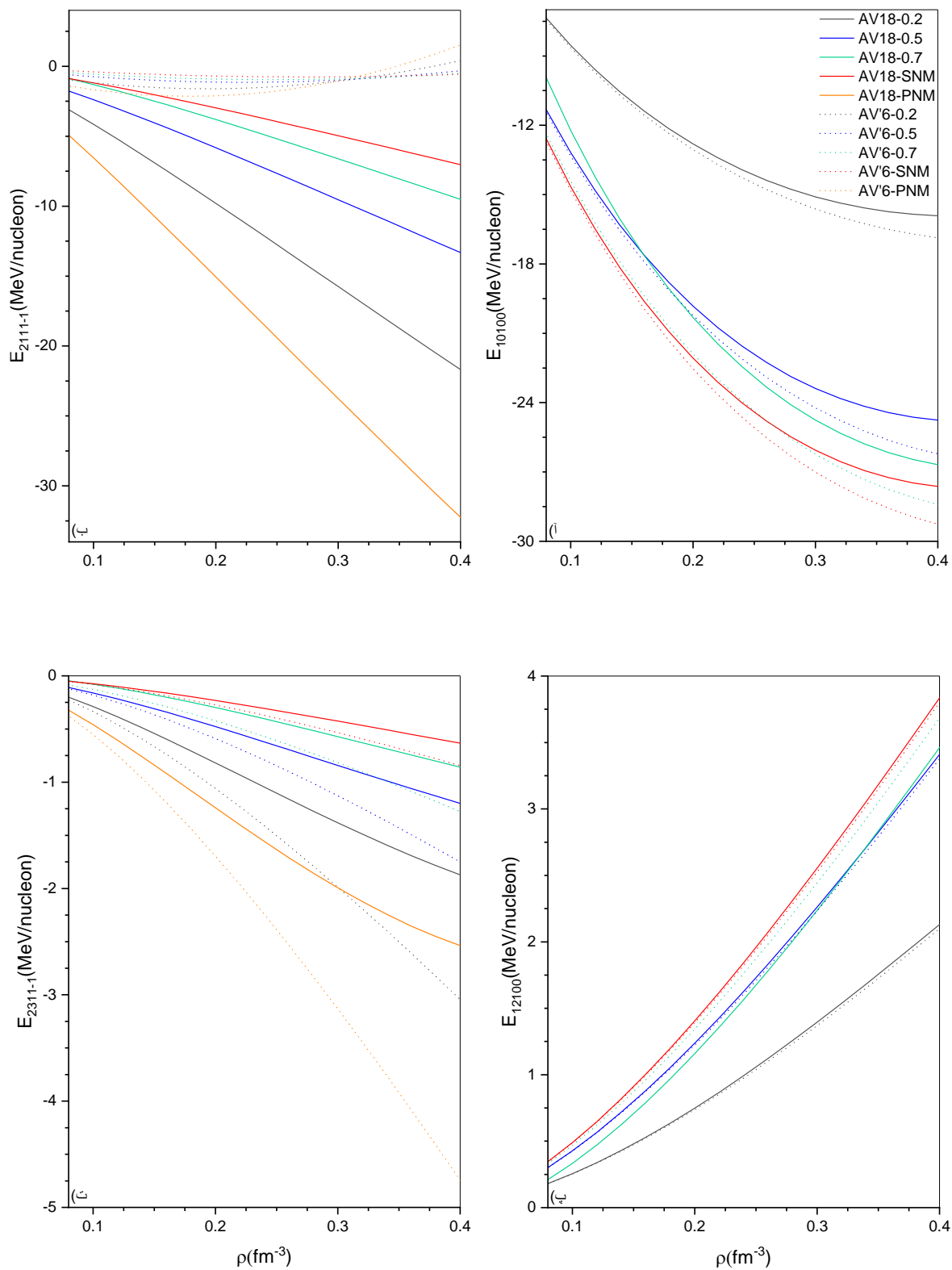
شکل ۴. (رنگی در نسخه الکترونیکی) مشابه با شکل ۳ اما در چگالی ${}^3\text{He}$ در fm^{-3} .



شکل ۵. (رنگی در نسخه الکترونیکی) (الف) برد همبستگی غیرمرکزی ماده هسته‌ای نامتقارن در حالت‌های جفت شده P_2 - F_2 - S_1 - D_1 - P_1 - D_2 - F_1 - S_0 به ازای نسبت‌های پروتون به نوترون $0/0$, $0/1$, $0/2$, $0/5$, $0/7$ و $1/0$ با پتانسیل AV18 بر حسب چگالی به ترتیب به صورت PNM, SNM, P, D, F, S نامگذاری شده‌اند. در این محاسبات تابع همبستگی اسپین-مدار در حالت جفت شده $J=2$ لحاظ شده است، (ب) مشابه با بخش (الف) اما با اندرکنش AV⁶, (پ) مشابه با قسمت (الف) با این تفاوت که تابع همبستگی تانسوری در حالت جفت شده $J=2$ داریم و (ت) مشابه با قسمت (پ) اما با پتانسیل AV⁶.



شکل ۶. (رنگی در نسخه الکترونیکی) (الف) انرژی ماده هسته‌ای نامتقارن در حالت $JLSTT_Z = 10100$ به ازای نسبت‌های پروتون به نوترون ρ با پتانسیل‌های AV^{18} و AV^{16} بر حسب چگالی. در این محاسباتتابع همبستگی اسپین-مدار در حالت جفت شده $J = 2$ لحاظ شده است، (ب) مشابه با بخش (الف) اما برای حالت $JLSTT_Z = 2111-1$ ، (پ) مشابه با قسمت (الف) اما برای حالت $JLSTT_Z = 12100$ و (ت) مشابه با قسمت (الف) اما برای حالت $JLSTT_Z = 2311-1$.



شکل ۷. (رنگی در نسخه الکترونیکی) مشابه با شکل ۶ با این تفاوت که در حالت جفت شده $J=2$ تابع همبستگی تانسوری داریم.

ماده هسته‌ای نامتقارن در حالت‌های جفت شده، به نسبت پروتون به نوترون و نوع اندرکنش دو-نوکلئونی وابسته است.

تقدیر و تشکر

نویسنده از دانشگاه صنعتی اصفهان برای حمایت مالی جهت اجرای طرح پژوهشی فوق سپاسگزار است.

ماده هسته‌ای نامتقارن در حالت جفت شده $J=2$ در مقایسه با حالت $J=1$ نسبت به تغییر اندرکنش حساس‌ترند. به طور مشابه، دیدیم که انرژی ماده هسته‌ای نامتقارن در حالت جفت شده $J=2$ (به خصوص در $L=1$) به ازای پتانسیل AV^6 به صورت قابل توجه با محاسبات اندرکشن AV^{18} اختلاف دارد. به این ترتیب، نتیجه می‌گیریم که رفتار توابع همبستگی نوکلئون-نوکلئون

مراجع

14. G H Bordbar, M Modarres, *Phys. Rev. C* **57** (1998) 714.
15. H R Moshfegh, M Modarres, *Nucl. Phys. A* **792** (2007) 201.
16. M Modarres, M Pourmirjafari, H R Moshfegh, *Nucl. Phys. A* **819** (2009) 27.
17. M Modarres, A Tafrihi, *Nucl. Phys. A* **941** (2015) 212.
18. S Goudarzi, H R Moshfegh, *Phys. Rev. C* **91** (2015) 054320.
19. A Tafrihi, M Modarres, *Nucl. Phys. A* **958** (2017) 25.
20. A Tafrihi, *Ann. Phys.* **392** (2018) 12.
21. M Rahmat, M Modarres, *Nucl. Phys. A* **997** (2020) 121715.
22. R B Wiringa, V Fiks, A Fabrocini, *Phys. Rev. C* **38** (1988) 1010.
23. J Carlson, J Morales, V R Pandharipande, D G Ravenhall, *Phys. Rev. C* **68** (2003) 025802.
24. A Mukherjee, *Phys. Rev. C* **79** (2009) 045811.
25. R B Wiringa, V G J Stoks, R Schiavilla, *Phys. Rev. C* **51** (1995) 38.
26. R B Wiringa, S C Pieper, *Phys. Rev. Lett.* **89** (2002) 182501.
1. J S Levinger, *Phys. Rev.* **84** (1951) 43.
2. J L Forest, V R Pandharipande, S C Pieper, R B Wiringa, R Schiavilla, and A Arriaga, *Phys. Rev. C* **54** (1996) 646.
3. A Akmal, V R Pandharipande, *Phys. Rev. C* **56** (1997) 2261.
4. O Benhar, *et al.*, *Nucl. Phys. A* **703** (2002) 70.
5. A Tafrihi, *Physics Letters B* **816** (2021) 136192.
6. H Feldmeier, *et al.*, *Phys. Rev. C* **84** (2011) 054003.
7. S Gandolfi, A Lovato, J Carlson, Kevin E Schmidt, *Phys. Rev. C* **90** (2014) 061306(R).
8. F Iwamoto, M Yamada, *Prog. Theor. Phys.* **17** (1957) 543.
9. J W Clark, *Prog. Part. Nucl. Phys.* **2** (1979) 89.
10. M E Grypeos and E Mavrommatis, *Lett. Nuovo Cimento* **5** (1972) 369.
11. J C Owen, R F Bishop, and J M Irvine, *Phys. Lett. B* **59** (1975) 1.
12. R F Bishop, C Howes, J M Irvine, M Modarres, *J. Phys. G: Nucl. Phys.* **4** (1978) 1709.
13. A M Modarres, J M Irvine, *J. Phys. G, Nucl. Phys.* **5** (1979) 511.